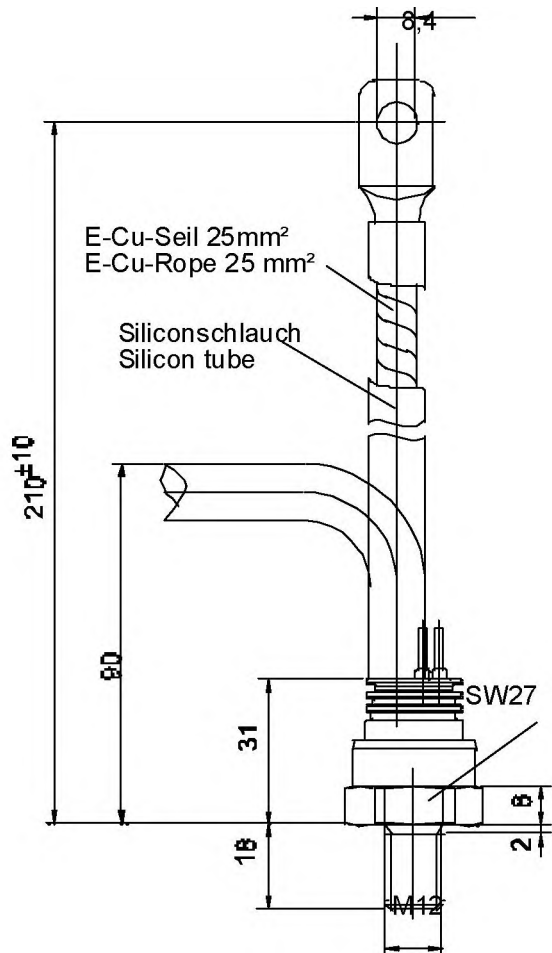
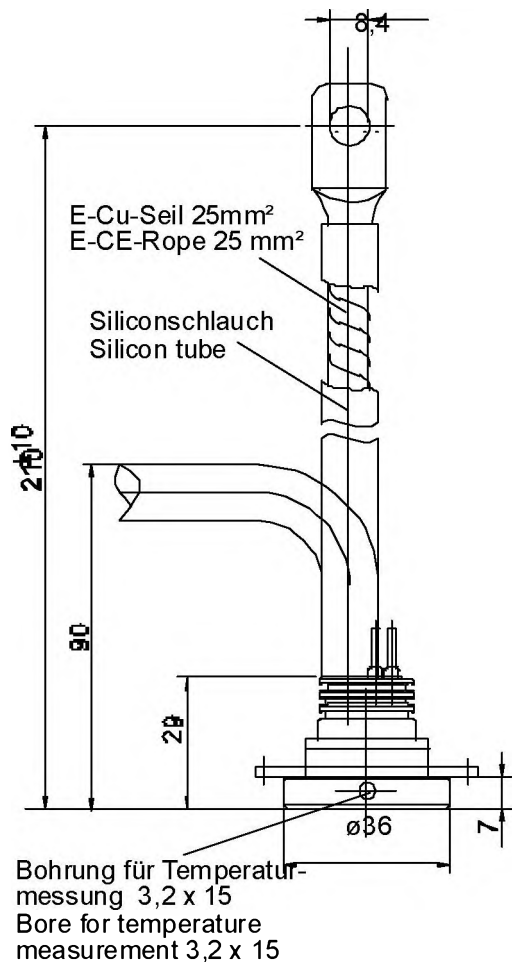


Marketing Information D 251 K



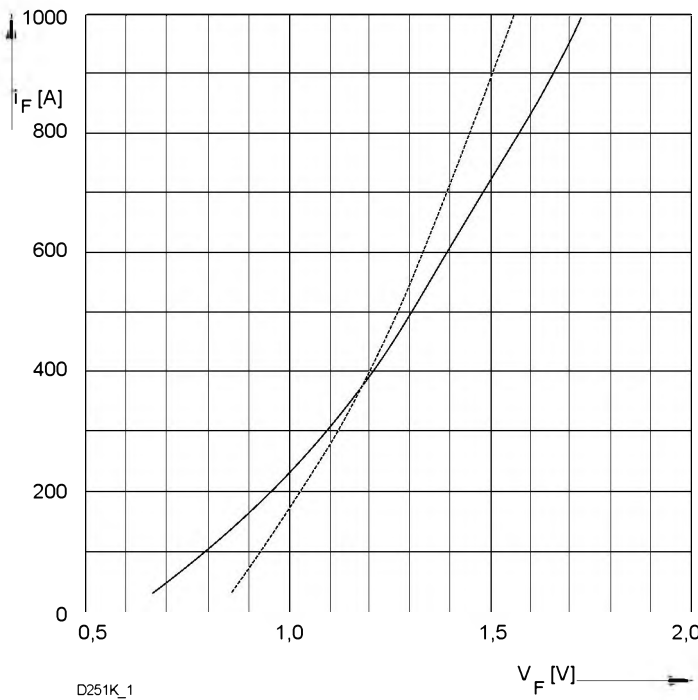
Typ Type	Schalsymbol Circuit symbol	Kathode Cathode	Anode Anode	Schutzschlauch Prot. flex. tubing
N		Seil Rope	Gehäuse Case	rot red
K		Gehäuse Case	Seil Rope	blau blue

Typ Type	Schalsymbol Circuit symbol	Kathode Cathode	Anode Anode	Schutzschlauch Prot. flex. tubing
N		Seil Rope	Gewinde Thread	rot red
K		Gewinde Thread	Seil Rope	blau blue

Elektrische Eigenschaften						
Electrical properties						
Höchstzulässige Werte		Maximum rated values				
Periodische Spitzensperrspannung		repetitive peak reverse voltage $t_{vj} = -40^\circ\text{C} \dots t_{vj\max}$				
		V_{RRM} 800, 1200, 1400 V 1800, 2000 V				
Stoßspitzensperrspannung		non-repetitive peak reverse voltage $t_{vj} = +25^\circ\text{C} \dots t_{vj\max}$				
Durchlaßstrom-Grenzeffektivwert		$V_{RSM} = V_{RRM}$ + 100 V				
Dauergrenzstrom		RMS forward current I_{FRMSM} 400 A				
		mean forward current I_{FAVM} 250 A				
		$t_c = 102^\circ\text{C}$ 255 A				
Stoßstrom-Grenzwert		surge forward current $t_c = 100^\circ\text{C}$ 4,7 kA				
		$t_{vj} = 25^\circ\text{C}, t_p = 10 \text{ ms}$ 5,7 kA				
		$t_{vj} = t_{vj\max}, t_p = 10 \text{ ms}$ 4,7 kA				
Grenzlastintegral		$I^2 t$ 162,5 kA ² s				
		$t_{vj} = 25^\circ\text{C}, t_p = 10 \text{ ms}$ 110,5 kA ² s				
Charakteristische Werte		Characteristic values				
Durchlaßspannung		on-state voltage $t_{vj} = t_{vj\max}, i_F = 800 \text{ A}$				
		V_T max. 1,57 V				
Schleusenspannung		threshold voltage $t_{vj} = t_{vj\max}$				
		$V_{T(TO)}$ 0,8 V				
Ersatzwiderstand		slope resistance $t_{vj} = t_{vj\max}$				
		r_T 0,85 mΩ				
Sperrstrom		reverse current $t_{vj} = t_{vj\max}, V_R = V_{RRM}$				
		i_R max. 30 mA				
Thermische Eigenschaften		Thermal properties				
Innerer Widerstand		thermal resistance, junction to case $\Theta = 180^\circ \text{ sin DC}$				
		R_{thJC} max. 0,236 °C/W				
Übergangs-Wärmewiderstand		thermal resistance,case to heatsink				
		R_{thCK} max. 0,04 °C/W				
Höchstzul. Sperrsichttemperatur		max. junction temperature $t_{vj\max}$				
		180 °C				
Betriebstemperatur		operating temperature $t_{c\ op}$				
		-40...+180 °C				
Lagertemperatur		storage temperature t_{slg}				
		-40...+180 °C				
Mechanische Eigenschaften		Mechanical properties				
Si-Element mit Druckkontakt		Si-pellet with pressure contact $\varnothing = 21 \text{ mm } (\varnothing 23 \text{ mm})^1)$				
Anzugsdrehmoment		tightening torque Gehäuseform/case design B				
		M 20 Nm				
Anpreßkraft		clamping force Gehäuseform/case design E				
		F 3,5 kN				
Gewicht		weight G typ. 175 g				
Kriechstrecke		creepage distance				
		12 mm				
Feuchteklasse		humidity classification DIN 40040				
Schwingfestigkeit		vibration resistance $f = 50 \text{ Hz}$				
		50 m/s ²				
Maßbild		outline Seite/page				
Polarität		polarity Kathode=Gehäuse/case				

1) Durchmesser 23 mm nur für $V_{RRM} = 2000 \text{ V}$ diameter 23 mm only for $V_{RRM} = 2000 \text{ V}$

D251K



Bild/Fig. 1
Grenzdurchlaßkennlinie
Limiting forward characteristic $i_F = f(V_F)$

— $t_{vj} = 0^\circ\text{C}$
- - - $t_{vj} = 25^\circ\text{C}$

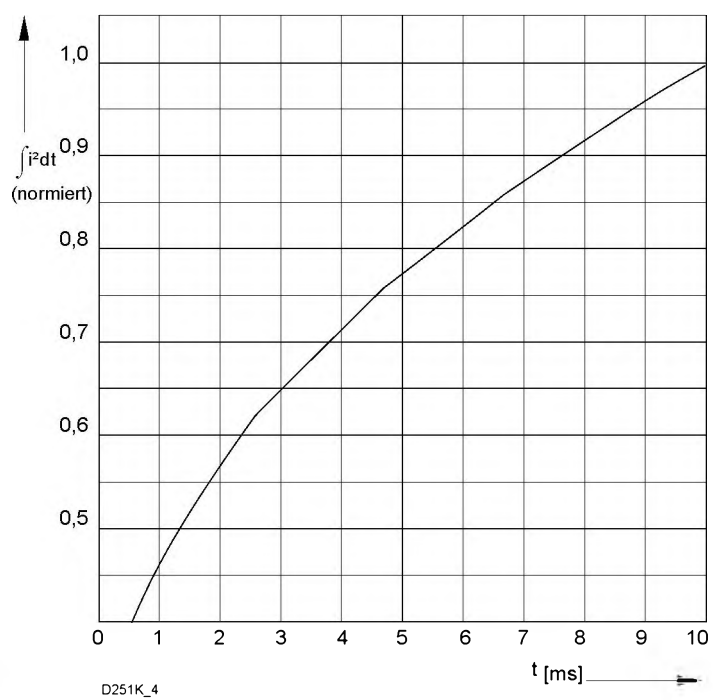


Bild / Fig. 2
Normiertes Grenzlastintegral / Normalized i^2t
 $\int i^2 dt = f(t_p)$

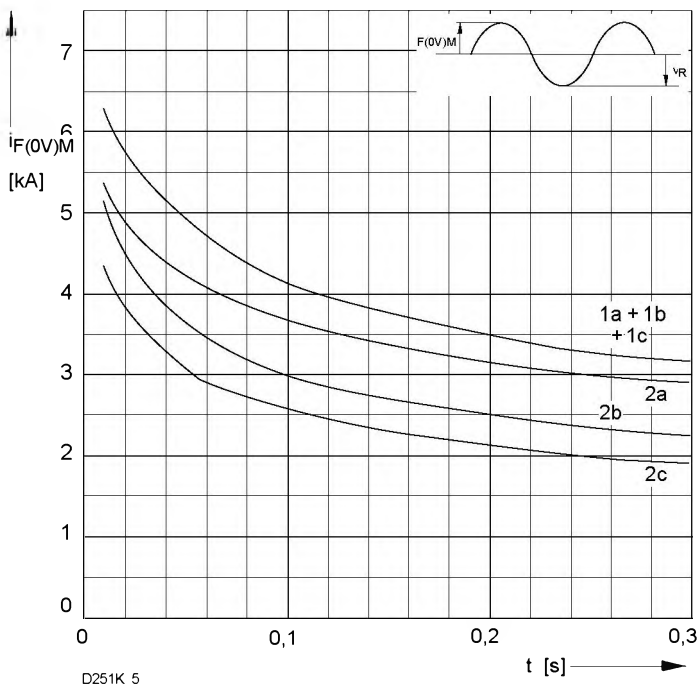


Bild / Fig. 3
Grenzstrom / Maximum overload forward current $i_{F(0V)M} = f(t)$

1 - $i_{FAV(vor)} = 0 \text{ A}; t_{vj} = t_c = 25^\circ\text{C}$
2 - $i_{FAV(vor)} = \text{A}; t_c = \text{ }^\circ\text{C}; t_{vj} = \text{ }^\circ\text{C}$
a - $VR \leq 50 \text{ V}$
b - $VR = V_{RRM}$
c - $VR = 0,8 V_{RRM}$

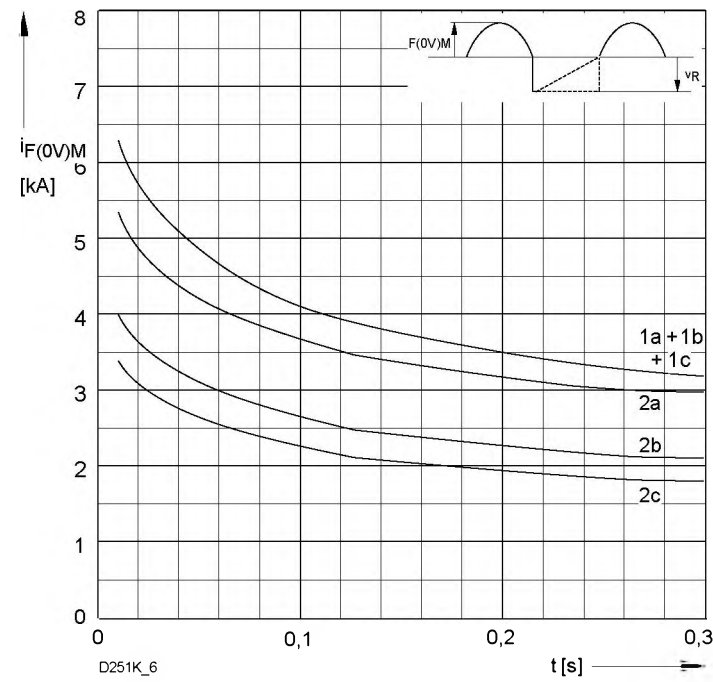


Bild / Fig. 4
Grenzstrom / Maximum overload forward current $i_{F(0V)M} = f(t)$

1 - $i_{FAV(vor)} = 0 \text{ A}; t_{vj} = t_c = 25^\circ\text{C}$
2 - $i_{FAV(vor)} = \text{A}; t_c = \text{ }^\circ\text{C}; t_{vj} = \text{ }^\circ\text{C}$
a - $VR \leq 50 \text{ V}$
b - $VR = 0,5 V_{RRM}$
c - $VR = 0,8 V_{RRM}$

D251K

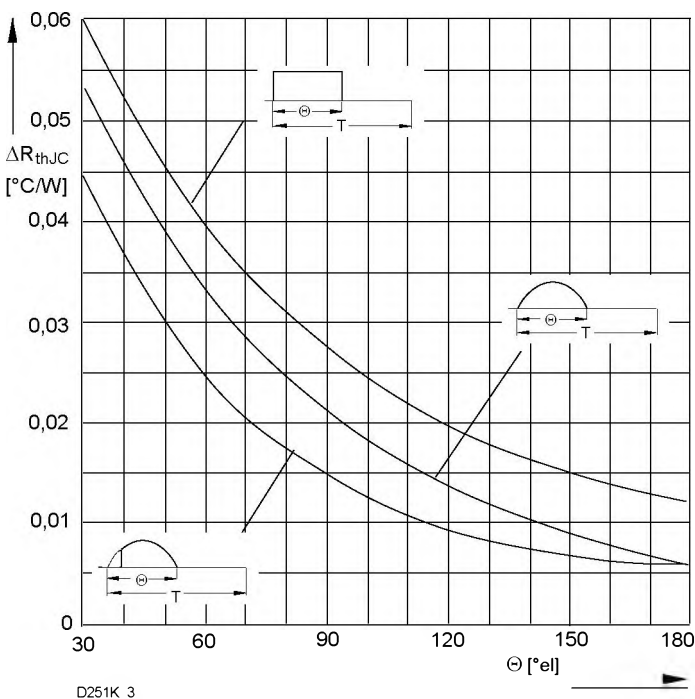


Bild / Fig. 5
Differenz zwischen den Wärmewiderständen
für Pulsstrom und DC
Difference between the values of thermal resistance for
pulse current and DC
Parameter: Stromkurvenform / Current waveform

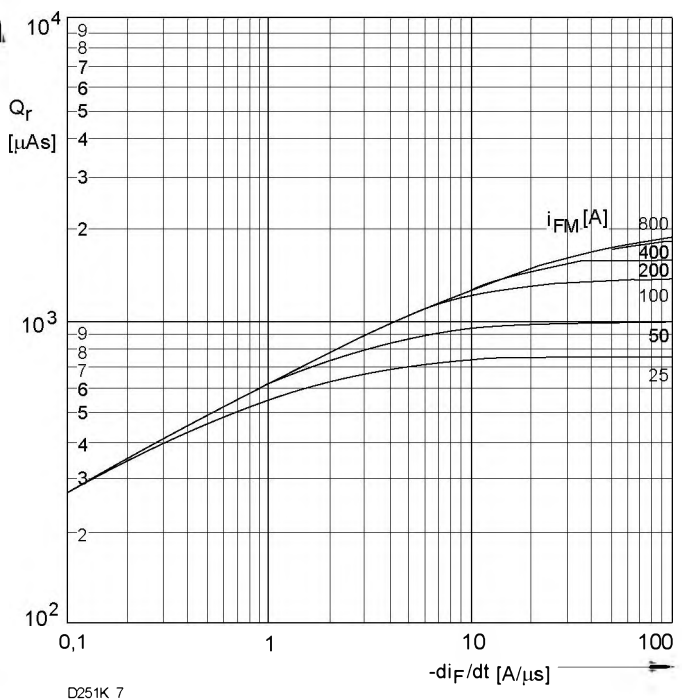


Bild / Fig. 6
Sperrverzögerungsladung / Recovered charge $Q_r = f(-di/dt)$
 $t_{vj} = t_{vjmax}; VR \leq 0,5 V_{RRM}; V_{RM} = 0,8 V_{RRM}$
Beschaltung / Snubber: $C = \mu\text{F}$; $R = \Omega$
Parameter: Durchlaßstrom / Forward current i_{FM}

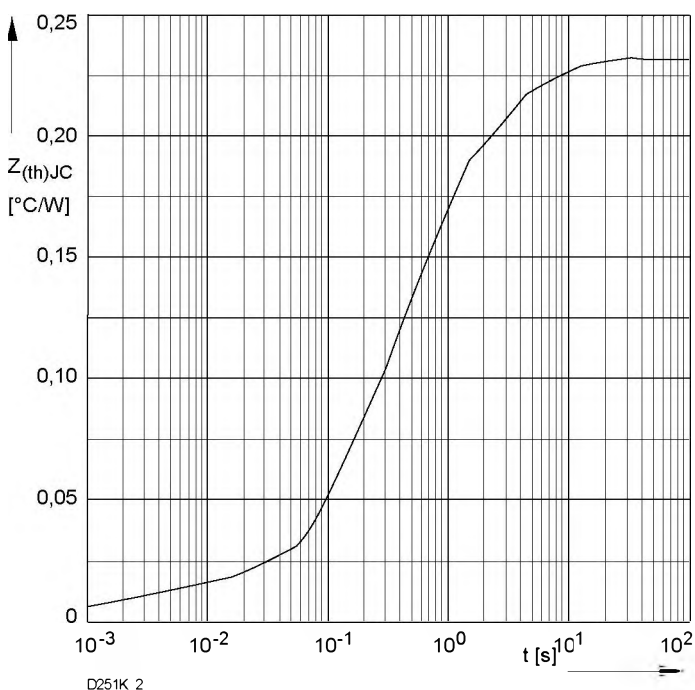


Bild / Fig. 7
Transienter innerer Wärmewiderstand
Transient thermal impedance $Z_{thJC} = f(t)$, DC
1 - Beidseitige Kühlung / Two-sided cooling
2 - Anodenseitige Kühlung / Anode-sided cooling
3 - Kathodenseitige Kühlung / Cathode-sided cooling

Analytische Elemente des transientes Wärmewiderstandes Z_{thJC} für DC
Analytical elements of transient thermal impedance Z_{thJC} for DC

Pos. n	1	2	3	4	5	6	7
R_{thn} [$^{\circ}\text{C}/\text{W}$]	0,000114	0,003146	0,00934	0,0242	0,0762	0,195	0,112
τ_n [s]	0,000018	0,000282	0,00282	0,0132	0,265	1,2	7,57

Analytische Funktion / Analytical function:

$$Z_{thJC} = \sum_{n=1}^{n_{\max}} R_{thn} (1 - \text{EXP}(-t/\tau_n))$$